

信州大学工学部 学生会員 ○吉川 薫  
 同 上 正会員 清水 茂  
 同 上 正会員 吉田俊彌  
 横河工事(株) 正会員 奥原秀敏

## 1. まえがき

補剛材のない部分で支持された腹板の、座屈に対する検討は重要な問題である。しかし、このような支持条件に対する示方書の規定がないことなどから、従来の架設設計では、正確な座屈安全率を算定することなしに、応力集中部に補剛材を入れるなどして、腹板を補強していた。ここでは、補剛材のない部分で支持された腹板について、FEMにより得られた座屈挙動をもとに、その座屈係数の推定式を示すとともに、このような状態の腹板の設計に対して若干の考察を行う。

## 2. 座屈係数の推定式

文献1)にもあるように、せん断力と曲げモーメントが同時に作用した場合の、支点上の腹板の座屈係数  $k_m$  は、せん断のみを受ける場合の座屈係数  $k_s$  に低減係数  $\mu$  を乗じて計算される。従って、ここでまず  $k_s$  を推定する式を示し、次に  $\mu$  を推定する式を示す。

1)  $k_s$  の推定式 文献1)の図-4をもとに、まず、 $k_s$  を  $\beta$  の関数とみなし、次式を仮定する。

$$k_s = \frac{b_4}{\beta^4} + \frac{b_3}{\beta^3} + \frac{b_2}{\beta^2} + \frac{b_1}{\beta} + b_0 \quad (1)$$

係数  $b_i$  ( $i=0 \sim 4$ ) の値は表-1に示す。表-1より、 $b_i$  はさらに、次式で表されるような  $\alpha$  の関数であると仮定できる。

$$b_i = C_{i3}\alpha + C_{i2}\alpha + C_{i1}\alpha + C_{i0} \quad (2)$$

係数  $C_{ij}$  の値は表-2に示す。

2)  $\mu$  の推定式 文献1)図-5より、 $\mu$  と中に直線関係が成り立っているものとみなしこれ。

$$\mu = 1 - A \cdot \phi \quad (3)$$

とおく。Aは、 $\alpha$ 、 $\beta$  のいずれに対しても、線

表-1  $b_i$  の値

$\alpha$	$b_4$	$b_3$	$b_2$	$b_1$	$b_0$
0.625	0.023	-0.515	3.941	-6.574	21.220
0.753	0.016	-0.362	2.829	-5.123	15.829
1.000	0.009	-0.208	1.670	-3.150	10.009
1.250	0.005	-0.122	1.090	-2.367	7.776
1.500	0.008	-0.182	1.457	-3.531	7.765
1.705	0.011	-0.238	1.801	-4.595	8.165

形であるとみなすと、次のようになる。

$$A = -0.038\alpha\beta - 0.033\alpha$$

$$+ 0.130\beta + 0.071 \quad (4)$$

表-2  $C_j$  の値

$b_i$	$C_3$	$C_2$	$C_1$	$C_0$
$b_4$	-0.013	0.084	-0.149	0.086
$b_3$	0.332	-1.954	3.354	-1.928
$b_2$	-2.844	15.539	-25.751	14.653
$b_1$	2.379	-18.734	35.100	-21.844
$b_0$	-19.355	89.862	-136.979	76.399

3) 推定式適用の精度  $k_s$  は (1)、(2)式を用いれば、 $\alpha$  と  $\beta$  を与えることにより求めることが可能である。また  $\mu$  についても (4)式を用いれば、 $\alpha$  と  $\beta$  を与えることにより  $A$  が求まり、さらに、(3)式により、 $\mu$  に応じた  $\mu$  を算定することができる。

## 座屈解析により得られた座屈係数と、推定式を用いて計算した座屈係数の比較を、表-3に示す。

$K_r$  は、(1)式の性質上  $\beta$  が小さいところでの推定の精度は悪いが、 $\beta > 0.177$  なら、最大で 6 % 程度の誤差の範囲内で推定が可能である。(3)式による  $\mu$  の推定値は、座屈解析により得られた値と比較して、最大で 2 % 程度の誤差であった。

表-3 推定式による値と解析値との比較  $\phi = 2.778$

$\beta \setminus \alpha$	0.753		1,000		1,250		1,500	
	$K_r$	$K_m$	$K_r$	$K_m$	$K_r$	$K_m$	$K_r$	$K_m$
0.177	解	28.53	23.24	17.32	14.64	12.42	10.87	9.73
	推	28.54	23.46	16.20	13.75	11.52	10.10	10.02
0.328	解	17.83	13.94	10.94	8.93	7.86	6.50	6.24
	推	18.14	14.13	10.96	8.48	7.44	6.26	6.37
0.417	解	13.83	10.20	8.47	6.61	6.42	5.20	5.09
	推	14.48	10.51	8.60	6.55	6.28	5.02	5.44
0.800	解	13.59	8.64	8.53	5.83	6.36	4.73	5.31
	推	13.45	8.69	8.19	5.65	6.14	4.51	5.51
1.000	解	12.96	7.54	8.23	5.23	6.36	4.37	5.53
	推	13.43	7.92	8.24	5.27	6.24	4.29	5.71

解：座屈解析による値

推：推定式による値

曲げ応力については、腹板バ

ネル上端と下端の応力の比率も、座屈係数に影響する重要なパラメーターである。ここで示したのは  $\psi = -0.897$  の場合である。 $\mu$  と  $\psi$  も線形関係が成り立つようであるが、これについては、現在研究が進行中であるので、詳細は当日発表することにする。

### 3. 計算に対する考察

補剛材による補強をしない場合は、2. で示した推定式を用いて座屈係数が算定される。腹板の下部に水平補剛材を入れる場合は、文献1)の表-1に示されているように、格段の座屈係数の上昇がみられる。図-3に、腹板下部に一段の水平補剛材を入れた場合の、補剛材の剛度と座屈係数の関係を示す。水平補剛材は、腹板下端から腹板全高の 1/5 の位置に配置するものとする。一方、図-4は、垂直補剛材直下に送り支承が位置した場合の、補剛材の剛度と座屈係数の関係を示したものである。図中の  $I_{spec}$  は、示方書 8.5.2、8.6.2 で規定される、補剛材の断面二次モーメントである。これらの図より、補剛材の剛度は、示方書の規定を満たしていれば十分であることがわかる。

### 参考文献

- 1) 清水、吉川、吉田、斎藤：補剛材のない部分で支持された腹板の座屈解析、中部支部概要集 I-9、昭58
- 2) 道路協会：道路橋示方書・同解説、昭55
- 3) 滝本、三村、森脇：局所荷重をうける腹板の座屈解析、土木年譲 I-135、昭56
- 4) Prötter, W: Zum Scheiben- und Beulproblem längsversteifter Stegblechfelder bei örtlicher Lasteinleitung und bei Belastung aus Haupttragwirkung, STAHLBAU, 1976.8

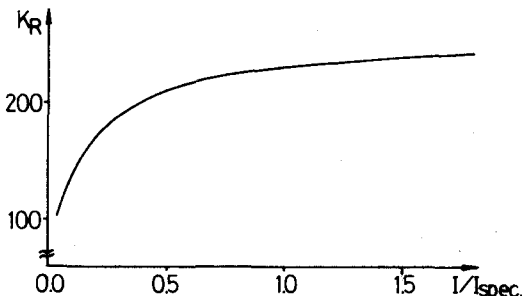


図-4 垂直補剛材の剛度と座屈係数の関係

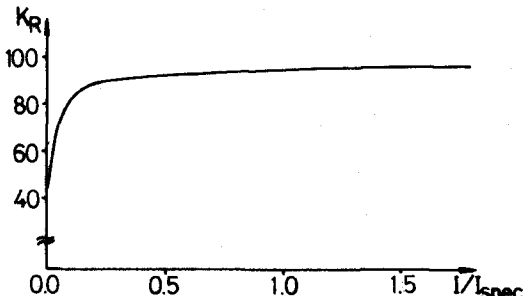


図-3 水平補剛材の剛度と座屈係数の関係